

# **PDE в обработке видео**

## **Оптический поток**

# PDE = уравнения в частных производных

$$\Psi'(I_z^2 + \gamma(I_{xz}^2 + I_{yz}^2)) \cdot (I_x I_z + \gamma(I_{xx} I_{xz} + I_{xy} I_{yz})) - \alpha \cdot \operatorname{div}(\Psi'(|\nabla_3 u|^2 + |\nabla_3 v|^2) \nabla_3 u) = 0,$$

$$\Psi'(I_z^2 + \gamma(I_{xz}^2 + I_{yz}^2)) \cdot (I_y I_z + \gamma(I_{yy} I_{yz} + I_{xy} I_{xz})) - \alpha \cdot \operatorname{div}(\Psi'(|\nabla_3 u|^2 + |\nabla_3 v|^2) \nabla_3 v) = 0$$

Видео = ...



# Компьютерное зрение

**Одна из основных задач:**

Получить информацию о движении в кадре

# Компьютерное зрение

## **Одна из основных задач:**

Получить информацию о движении в кадре

- Идентифицировать движение
- Определить его направление
- Определить скорость

# Компьютерное зрение

## **Одна из основных задач:**

Получить информацию о движении в кадре

- Идентифицировать движение
- Определить его направление
- Определить скорость

Положение и перемещения камеры обычно неизвестны

# Компьютерное зрение

## **Одна из основных задач:**

Получить информацию о движении в кадре

- Идентифицировать движение
- Определить его направление
- Определить скорость

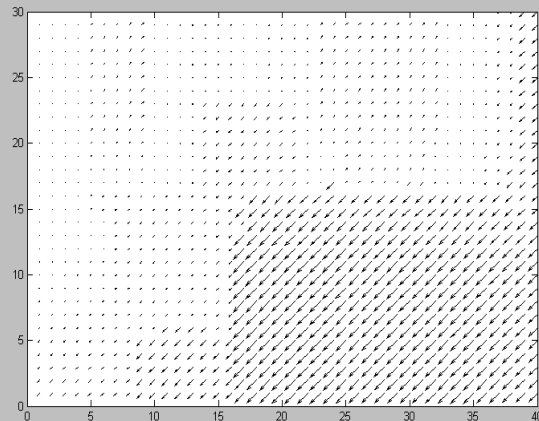
Положение и перемещения камеры обычно неизвестны



Ограничиваем задачу поиском относительного движения объектов в системе отсчета, связанной с камерой

# Компьютерное зрение

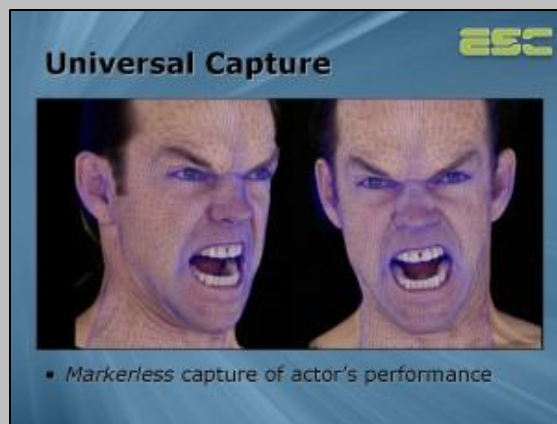
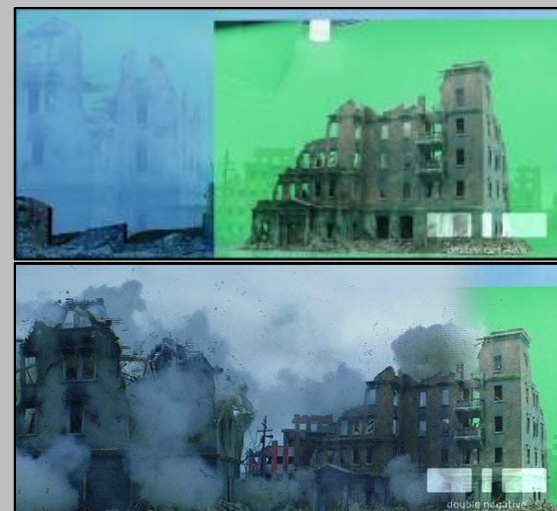
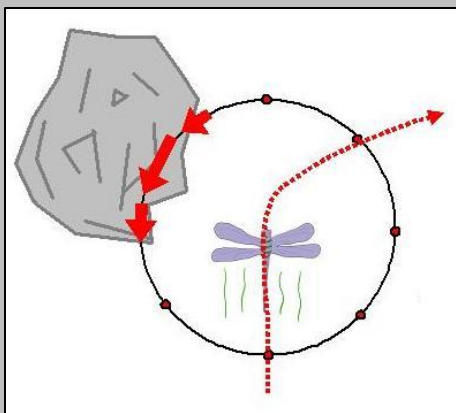
Относительное движение между двумя последовательными кадрами можно представить как векторное поле – **оптический поток**



# Оптический поток

## Применение

- Визуальные эффекты
- Отслеживание объектов
- Автономная навигация роботов
- Системы видеонаблюдения



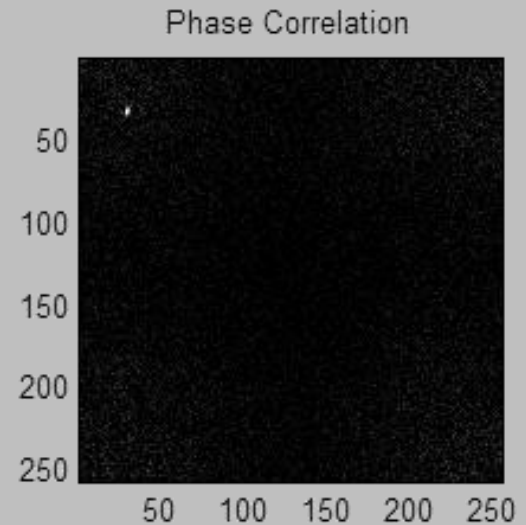
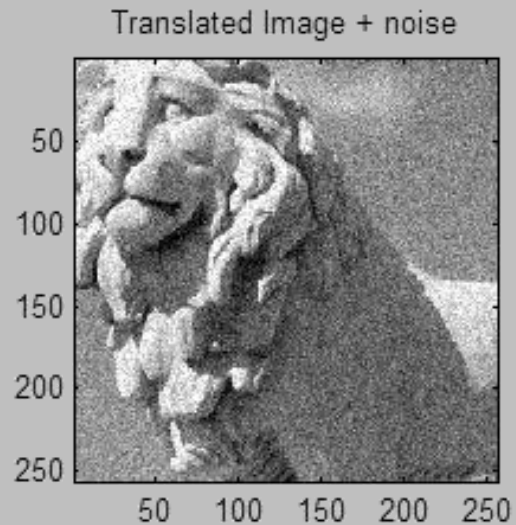
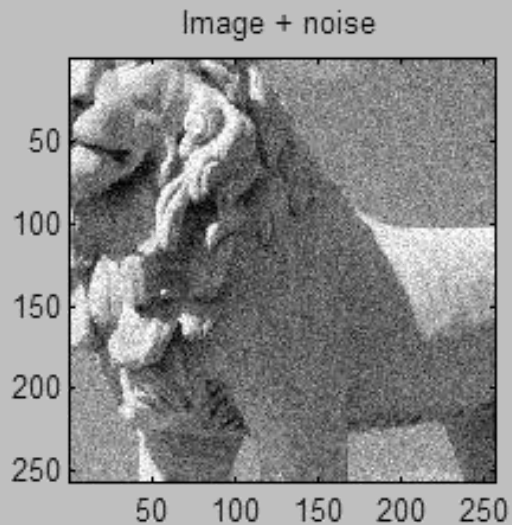


# Оптический поток

## Методы нахождения

- **Фазовая корреляция**

- преобразование Фурье
- только прямолинейное движение
- все точки перемещаются одинаково



# Взаимная корреляция сигналов

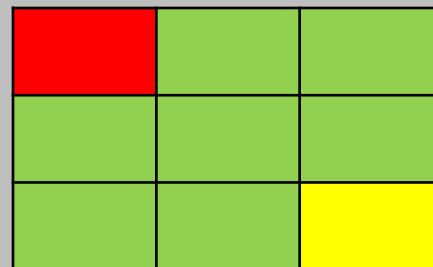
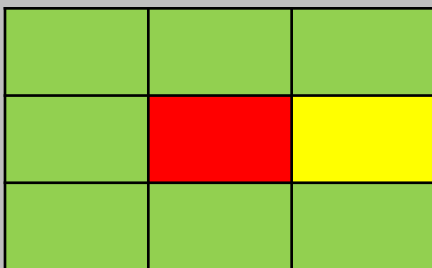
$$(f \bullet g)(t) = \int_{-\infty}^{+\infty} f^*(y) g(y+t) dy$$

$$F\{f \bullet g\} = (F\{f\})^* \cdot F\{g\}$$

# Оптический поток

## Методы нахождения

- Фазовая корреляция
  - преобразование Фурье
  - только прямолинейное движение
  - все точки перемещаются одинаково
- **Блочные методы**
  - поиск похожих блоков
  - все точки блока перемещаются одинаково



# Оптический поток

## Методы нахождения

- Фазовая корреляция
  - преобразование Фурье
  - только прямолинейное движение
  - все точки перемещаются одинаково
- Блочные методы
  - поиск похожих блоков
  - все точки блока перемещаются одинаково
- **Вариационные методы**
  - минимизация некоторого функционала

$$E(u, v) \rightarrow \inf$$

$$x - a = b \Leftrightarrow |x - a - b| = 0$$

$$u - \text{решение} \Leftrightarrow |u - a - b| = \inf_x |x - a - b| = 0$$

$$\Rightarrow E(u) = |u - a - b| \rightarrow \inf$$

# Оптический поток

## **Вариационные методы**

- формулировка в виде задачи оптимизации
- плотное поле скоростей
  - для каждого пикселя
- высокая точность
  - смещение не обязательно кратно размеру пикселя

# Оптический поток

## Построение модели

### • Дано:

- Непрерывная последовательность изображений

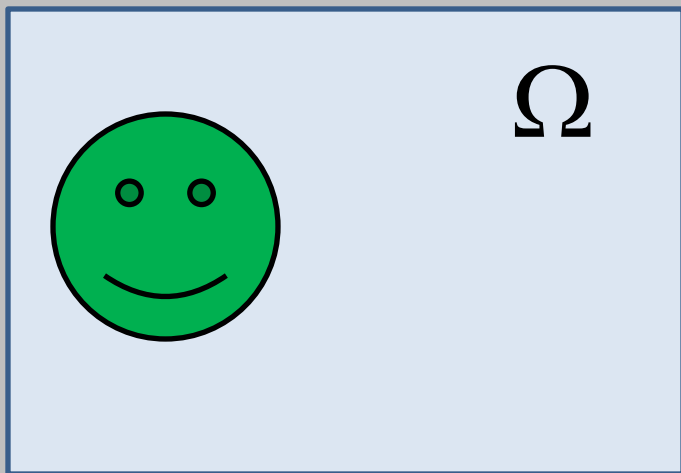
$$\underbrace{I(x, y, t)}_{\text{яркость}}, \underbrace{(x, y)}_{\text{в точке}}, \underbrace{t}_{\text{в момент времени}} \in \Omega, t \in [0, T]$$

### • Надо найти:

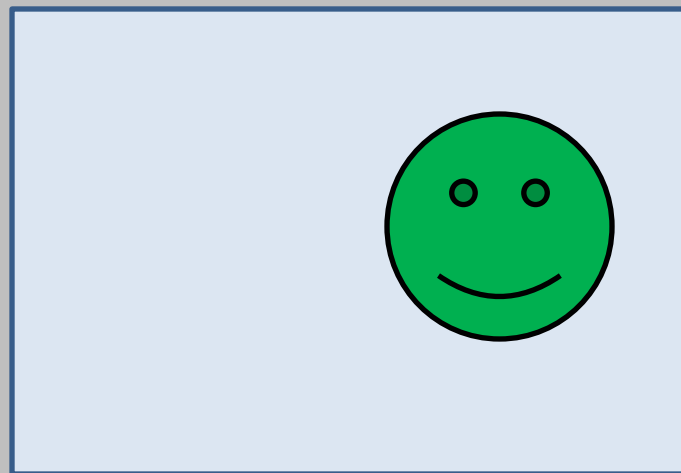
- Поле смещений

$$\mathbf{w}(x, y, t) = \begin{pmatrix} u(x, y, t) \\ v(x, y, t) \\ 1 \end{pmatrix}$$

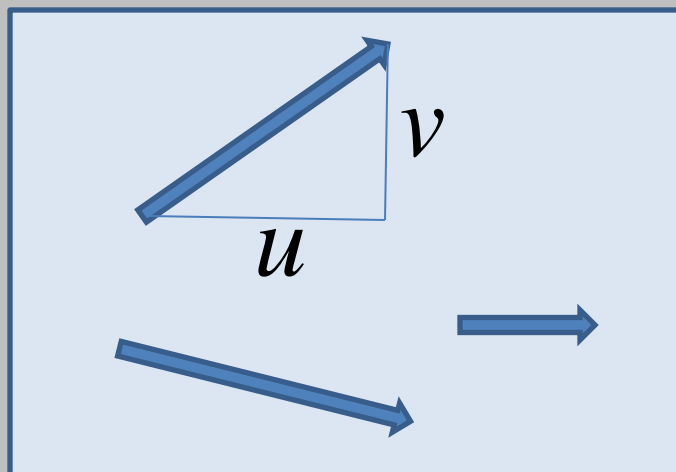
# Оптический поток



$I(\cdot, \cdot, t)$



$I(\cdot, \cdot, t+1)$



$\mathbf{w}(\cdot, \cdot, t)$

# Построение модели

## Предположение 1

Постоянство яркости пикселей

$$I(x + u, y + v, t + 1) - I(x, y, t) = 0$$

## Предположение 2

$u, v$  — малы,  $I$  — гладкая функция

В этом случае предыдущее равенство можно линеаризовать в точке  $(x, y, t)$

$$\begin{aligned} I(x + u, y + v, t + 1) - I(x, y, t) &\approx I_x(x, y, t)u + I_y(x, y, t)v + I_t(x, y, t) \cdot 1 \\ &\Rightarrow I_x u + I_y v + I_t = 0 \end{aligned}$$



# Построение модели

$$I_x u + I_y v + I_t = 0$$

- Одно уравнение для двух неизвестных
- Некорректная задача с бесконечным числом решений
- Известно как **проблема апертуры** (aperture problem)
  - наблюдая лишь за небольшой частью кадра невозможно однозначно определить направление движения

# Построение модели

$$I_x u + I_y v + I_t = 0$$

- Одно уравнение для двух неизвестных
- Некорректная задача с бесконечным числом решений
- Известно как **проблема апертуры** (aperture problem)
  - наблюдая лишь за небольшой частью кадра невозможно однозначно определить направление движения



**Как движется  
шаблон?**

# Построение модели

$$I_x u + I_y v + I_t = 0$$

- Одно уравнение для двух неизвестных
- Некорректная задача с бесконечным числом решений
- Известно как **проблема апертуры** (aperture problem)
  - наблюдая лишь за небольшой частью кадра невозможно однозначно определить направление движения



**Как движется  
шаблон?**

По диагонали вправо?

# Построение модели

$$I_x u + I_y v + I_t = 0$$

- Одно уравнение для двух неизвестных
- Некорректная задача с бесконечным числом решений
- Известно как **проблема апертуры** (aperture problem)
  - наблюдая лишь за небольшой частью кадра невозможно однозначно определить направление движения



**Как движется  
шаблон?**

По диагонали вправо?  
Только вправо?

# Построение модели

$$I_x u + I_y v + I_t = 0$$

- Одно уравнение для двух неизвестных
- Некорректная задача с бесконечным числом решений
- Известно как **проблема апертуры** (aperture problem)
  - наблюдая лишь за небольшой частью кадра невозможно однозначно определить направление движения

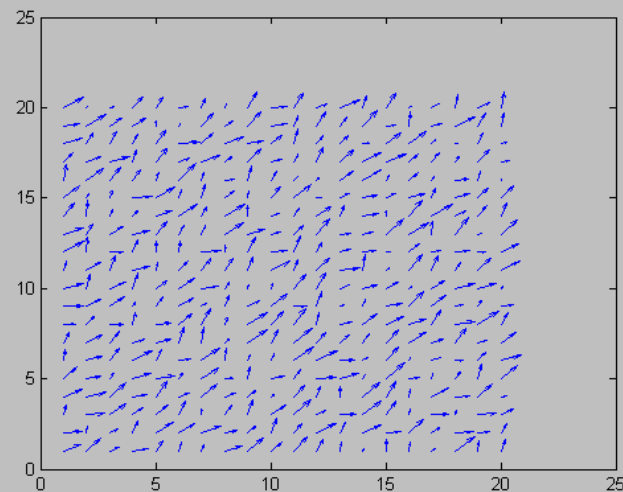


**Как движется  
шаблон?**

По диагонали вправо?  
Только вправо?  
Или только вниз?

# Как визуализировать векторное поле

**При помощи стрелок,**  
предварительно понизив  
разрешение

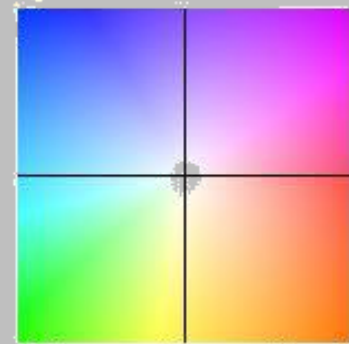


**При помощи цвета:**

- Направление – цвет
- Абсолютное значение – яркость



optical flow color encoding scheme



# Как оценить качество рассчитанного потока

**Настоящий поток** (ground truth)  $w^t$

**Вычисленный поток** (estimated)  $w^e$

**Размер изображения**  $M \times N$

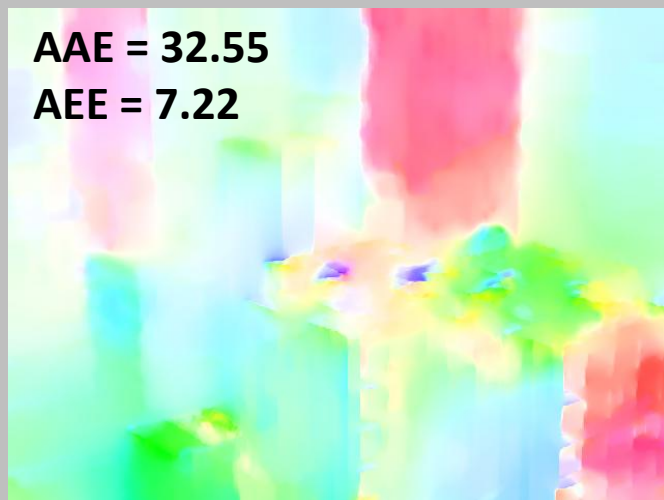
**Средняя угловая ошибка** (AAE – Average Angular Error)

$$AAE = \frac{1}{NM} \sum_{i=1}^M \sum_{j=1}^N \arccos \left( \frac{w_{i,j}^t{}^T w_{i,j}^e}{|w_{i,j}^t| |w_{i,j}^e|} \right)$$

**Средняя ошибка по конечной точке** (AEE – Average Endpoint Error)

$$AEE = \frac{1}{NM} \sum_{i=1}^M \sum_{j=1}^N |w_{i,j}^t - w_{i,j}^e|$$

# Как оценить качество рассчитанного потока





# **МЕТОД LUCAS-KANADE**

Lucas B. D. and Kanade T. 1981, An iterative image registration technique with an application to stereo vision.

*Proceedings of Imaging understanding workshop*, pp 121--130

# Метод Lucas-Kanade

## Предположение

- Поток кусочно-постоянный

Разобьем изображение на небольшие части (например, блоки 8x8), в которых все точки двигаются одинаково

$$\Omega = \coprod_k \omega_k$$

$\omega_1$	$\omega_2$	$\omega_3$	...
...			
...	$\omega_k$	...	
...			$\omega_L$

Для каждой из частей запишем линеаризованное уравнение постоянства яркости

$$I_x(i, j)u(\omega_k) + I_y(i, j)v(\omega_k) = -I_t(i, j), \quad (i, j) \in \omega_k$$

# Метод Lucas-Kanade

Полученную систему уравнений можно записать в матричном виде

$$A \cdot \begin{pmatrix} u \\ v \end{pmatrix} = -b$$

$$A = \begin{pmatrix} I_x(i_1, j_1) & I_y(i_1, j_1) \\ \vdots & \vdots \\ I_x(i_L, j_L) & I_y(i_L, j_L) \end{pmatrix}, \quad b = \begin{pmatrix} I_t(i_1, j_1) \\ \vdots \\ I_t(i_L, j_L) \end{pmatrix}$$

# Метод Lucas-Kanade

Полученную систему уравнений можно записать в матричном виде

$$A \cdot \begin{pmatrix} u \\ v \end{pmatrix} = -b$$

$$A = \begin{pmatrix} I_x(i_1, j_1) & I_y(i_1, j_1) \\ \vdots & \vdots \\ I_x(i_L, j_L) & I_y(i_L, j_L) \end{pmatrix}, \quad b = \begin{pmatrix} I_t(i_1, j_1) \\ \vdots \\ I_t(i_L, j_L) \end{pmatrix}$$

**Уравнений больше чем неизвестных**

Ищем **псевдорешение** методом наименьших квадратов

# Метод Lucas-Kanade

## Псевдорешение

$$A^T A \begin{pmatrix} u \\ v \end{pmatrix} = -A^T b$$

$$A^T A = \begin{pmatrix} \sum I_x^2 & \sum I_x I_y \\ \sum I_x I_y & \sum I_y^2 \end{pmatrix}, \quad A^T b = \begin{pmatrix} \sum I_x I_t \\ \sum I_y I_t \end{pmatrix}$$

**Для каждой части** изображения необходимо

- вычислить квадратную матрицу 2-го порядка
- правую часть – вектор размерности 2
- **решить СЛАУ** 2-го порядка

# Метод Lucas-Kanade

**Недостаток метода:**

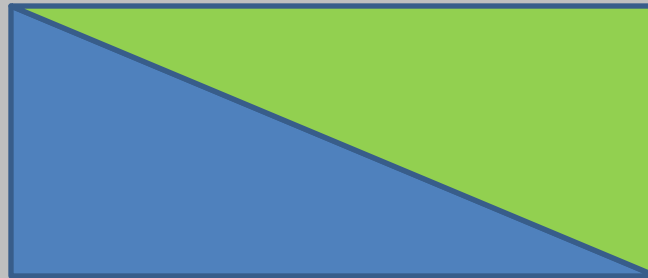
**Матрица может оказаться вырожденной**

- В однородных областях (без текстуры)

$$\left. \begin{array}{l} I_x \approx 0 \\ I_y \approx 0 \end{array} \right\} \Rightarrow A^T A \approx 0$$

- На границах

$$I_x = c \cdot I_y \Rightarrow A^T A = \begin{pmatrix} c^2 I_y^2 & c I_y I_y \\ c I_y I_y & I_y^2 \end{pmatrix}$$

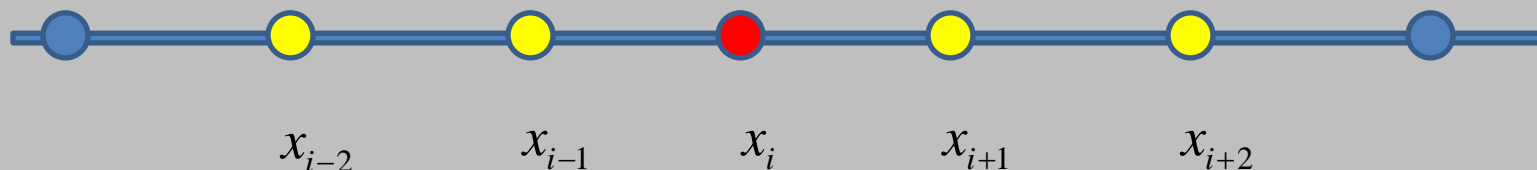


# Метод Lucas-Kanade

**Пространственные производные** удобно вычислить заранее

- свертка столбцов(строк) с ядром 5x1 (1x5)

$$\frac{\partial f}{\partial x}(x_i, y_j) \approx \frac{f(x_{i-2}, y_j) - 8f(x_{i-1}, y_j) + 8f(x_{i+1}, y_j) - f(x_{i+2}, y_j)}{12h}$$



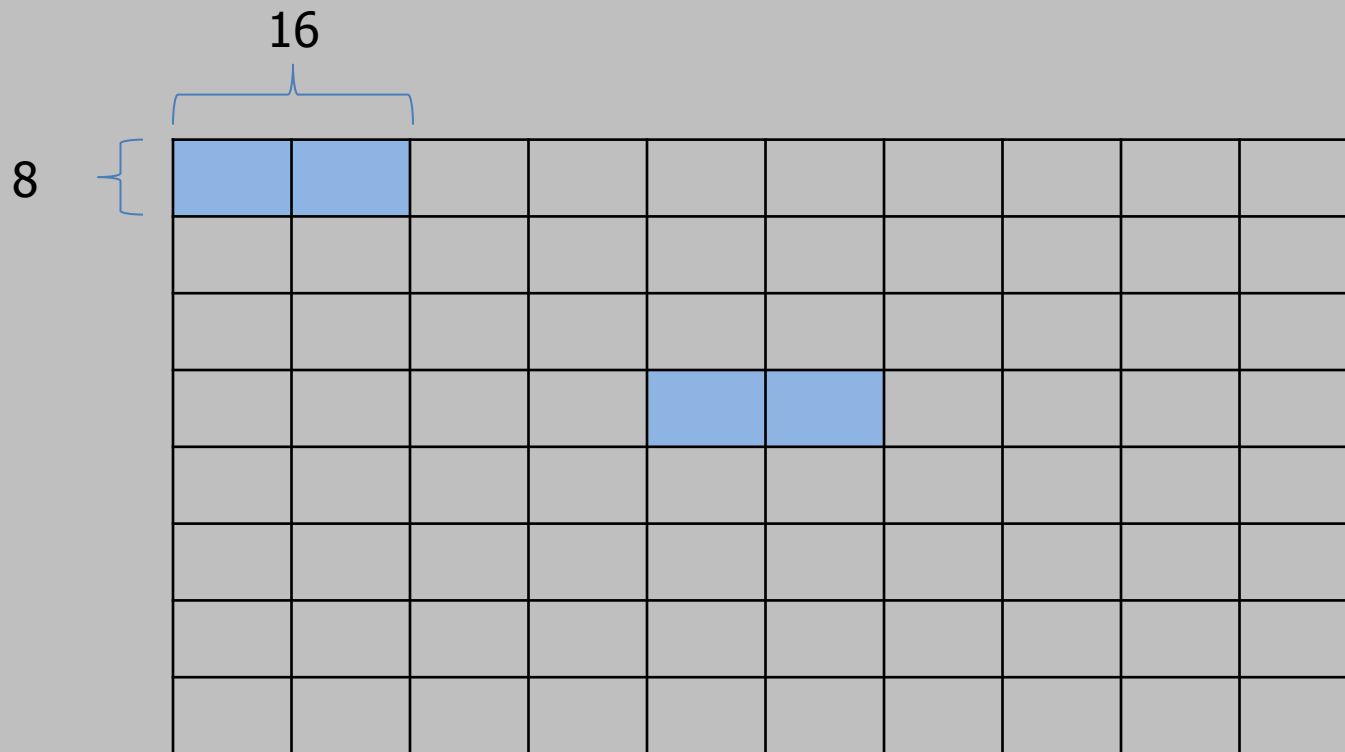
**Ядро**

$\frac{1}{12}$	$-\frac{8}{12}$	0	$\frac{8}{12}$	$-\frac{1}{12}$
----------------	-----------------	---	----------------	-----------------

# Метод Lucas-Kanade

## Решение систем

## Распределение работы между потоками



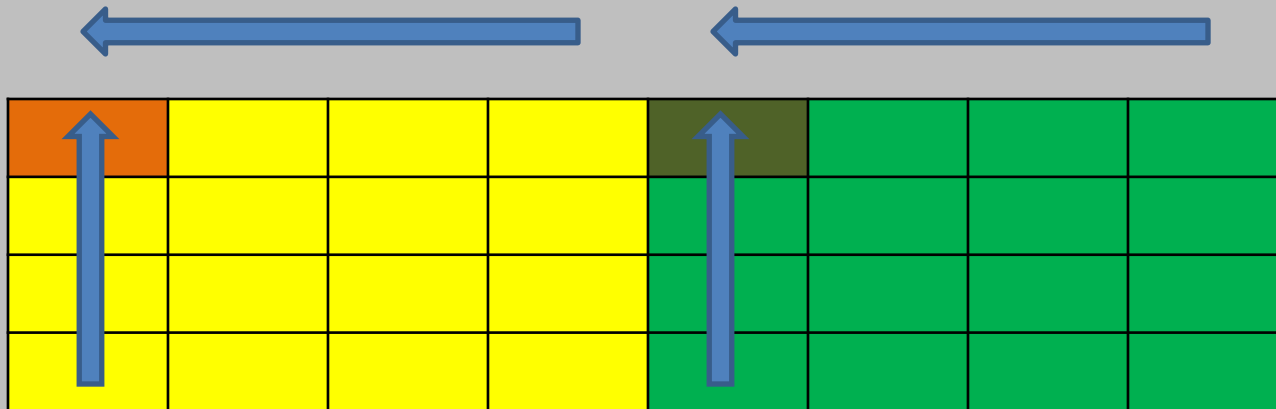


# Метод Lucas-Kanade

Каждый блок потоков обрабатывает две части изображения

## Вычисление матрицы и правой части

- использовать **reduce**



Решение системы уравнений  $2 \times 2$

- выписывается явно
- удобно вычислять потоками  $(0,0)$  и  $(8,0)$

# Вариационные методы

## Основная идея

поле смещений минимизирует некоторый энергетический функционал

$$E(u, v) = \int_{\Omega} D(u, v) + \alpha \cdot S(u, v) dx dy$$

$D(u, v)$  (**data term**) – штраф за отклонения от предположений о постоянстве какой-либо величины (например, яркости)

$S(u, v)$  (**smooth term**) – штраф за отклонения от предположений гладкости векторного поля

$\alpha$  параметр регуляризации – определяет гладкость получаемого векторного поля

# **МЕТОД HORN-SCHUNK**

B.K.P. Horn and B.G. Schunck, "Determining optical flow." *Artificial Intelligence*, vol 17, pp 185-203, 1981

# Метод Horn-Schunck

## Предположение

Поле смещений – гладкая функция в области  $\Omega$

Поле смещений минимизирует функционал

$$E(u, v) = \int_{\Omega} \underbrace{\left( I_x u + I_y v + I_t \right)^2}_{\text{data}} + \alpha \underbrace{\left( |\nabla u|^2 + |\nabla v|^2 \right)}_{\text{smooth}} dx dy$$

**data term** – штраф за отклонения от предположения постоянства яркости

**smooth term** – штраф за отклонение от предположения гладкости поля

# Минимизация функционала

$$E(u, v) = \int_{\Omega} F(x, y, u, v, u_x, u_y, v_x, v_y) dx dy$$

**Уравнения Эйлера-Лагранжа**

$$0 = F_u - \frac{\partial}{\partial x} F_{u_x} - \frac{\partial}{\partial y} F_{u_y}$$

$$0 = F_v - \frac{\partial}{\partial x} F_{v_x} - \frac{\partial}{\partial y} F_{v_y}$$

**С граничными условиями**

$$\mathbf{n}^T \begin{pmatrix} F_{u_x} \\ F_{u_y} \end{pmatrix} = 0, \quad \mathbf{n}^T \begin{pmatrix} F_{v_x} \\ F_{v_y} \end{pmatrix} = 0$$

# Метод Horn-Schunck

**Уравнения Эйлера-Лагранжа**

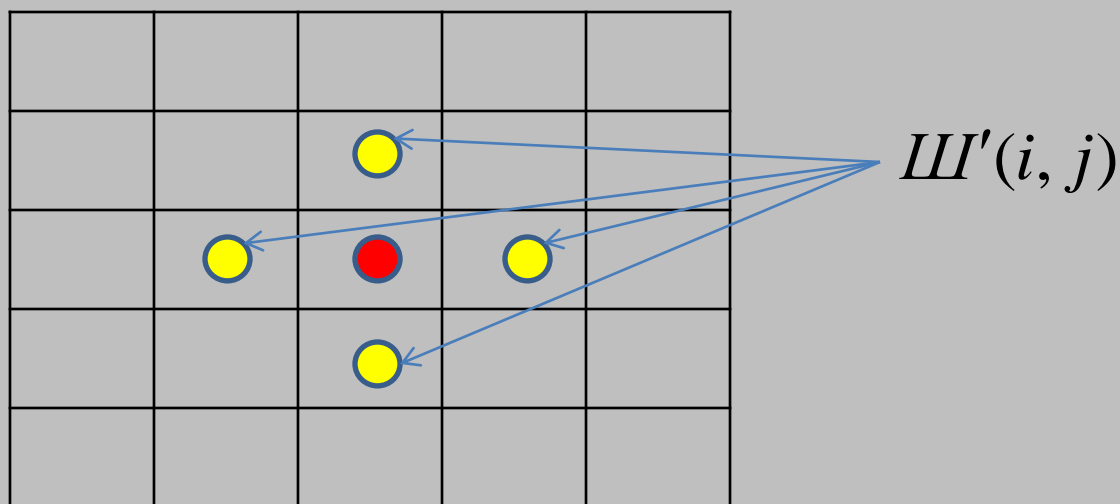
$$\begin{cases} I_x(I_x u + I_y v + I_t) - \alpha \cdot \Delta u = 0 \\ I_y(I_x u + I_y v + I_t) - \alpha \cdot \Delta v = 0 \end{cases}$$
$$\Delta = \frac{\partial^2}{\partial x^2} + \frac{\partial^2}{\partial y^2}$$

**Граничные условия**

$$\mathbf{n}^T \nabla u = 0, \quad \mathbf{n}^T \nabla v = 0$$

# Метод Horn-Schunck

## Аппроксимация оператора Лапласа



$$\Delta u_{i,j} \approx \frac{u_{i-1,j} - 2u_{i,j} + u_{i+1,j}}{h^2} + \frac{u_{i,j-1} - 2u_{i,j} + u_{i,j+1}}{h^2}$$

# Метод Horn-Schunck

## Дискретизация уравнений

$$\left\{ \begin{array}{l} 0 = I_x^2 u_{i,j} + I_x I_y v_{i,j} + I_x I_t - \alpha \cdot \sum_{(\bar{i}, \bar{j}) \in \mathcal{H}'(i,j)} \frac{u_{\bar{i}, \bar{j}} - u_{i,j}}{h^2} \\ 0 = I_x I_y u_{i,j} + I_y^2 v_{i,j} + I_y I_t - \alpha \cdot \sum_{(\bar{i}, \bar{j}) \in \mathcal{H}'(i,j)} \frac{v_{\bar{i}, \bar{j}} - v_{i,j}}{h^2} \end{array} \right.$$

Граничные условия уже учтены в дискретизованном уравнении

- Шаг сетки  $h$  обычно принимают равным 1

- Система с  $2xNxM$  неизвестными – метод Гаусса неприменим из-за высокой сложности и плохой устойчивости



# Метод Якоби для решения СЛАУ

Рассмотрим СЛАУ вида  $Ax = b$

$$A = L + D + U$$

**Итерационный метод**

$$x^0 = 0$$

$$x^{k+1} = D^{-1}(b - (L + U)x^k) \Leftrightarrow x_i^{k+1} = \frac{1}{a_{ii}} \left( b_i - \sum_{j \neq i} a_{ij} x_j^k \right)$$

# Метод Гаусса-Зейделя для решения СЛАУ

Рассмотрим СЛАУ вида  $Ax = b$

$$A = L + D + U$$

**Итерационный метод**

$$x^0 = 0$$

$$x^{k+1} = (D + L)^{-1} (b - Ux^k) \Leftrightarrow x_i^{k+1} = \frac{1}{a_{ii}} \left( b_i - \sum_{j>i} a_{ij} x_i^k - \sum_{j<i} a_{ij} x_i^{k+1} \right)$$

# Метод релаксации (SOR) для решения СЛАУ

Рассмотрим СЛАУ вида  $Ax = b$

$$A = L + D + U$$

**Итерационный метод**

$$x^0 = 0$$

$$x^{k+1} = (D + \omega L)^{-1} (\omega b - (\omega U + (\omega - 1)D)x^k) \Leftrightarrow$$

$$x_i^{k+1} = (1 - \omega)x_i^k + \frac{\omega}{a_{ii}} \left( b_i - \sum_{j>i} a_{ij}x_j^k - \sum_{j<i} a_{ij}x_j^{k+1} \right)$$

# Метод Horn-Schunck

$$u_{i,j}^{k+1} = \frac{\left( -I_x I_t - \left( I_x I_y v_{i,j}^k - \alpha \sum_{(\bar{i}, \bar{j}) \in \mathcal{H}'(i,j)} \frac{1}{h^2} u_{\bar{i}, \bar{j}}^k \right) \right)}{I_x^2 + \alpha \sum_{(\bar{i}, \bar{j}) \in \mathcal{H}'(i,j)} \frac{1}{h^2}}$$

**Метод Якоби**

$$v_{i,j}^{k+1} = \frac{\left( -I_y I_t - \left( I_x I_y u_{i,j}^k - \alpha \sum_{(\bar{i}, \bar{j}) \in \mathcal{H}'(i,j)} \frac{1}{h^2} v_{\bar{i}, \bar{j}}^k \right) \right)}{I_y^2 + \alpha \sum_{(\bar{i}, \bar{j}) \in \mathcal{H}'(i,j)} \frac{1}{h^2}}$$

**Просто распараллеливается**

Приближение на следующей итерации полностью определяется по приближению на текущей итерации – нет зависимости между разными пикселями

# Метод Horn-Schunck

$$u_{i,j}^{k+1} = \frac{\left( -I_x I_t - \left( I_x I_y v_{i,j}^k - \alpha \sum_{(\bar{i}, \bar{j}) \in \mathcal{H}'_-(i,j)} \frac{1}{h^2} u_{i,\bar{j}}^{k+1} - \alpha \sum_{(\bar{i}, \bar{j}) \in \mathcal{H}'_+(i,j)} \frac{1}{h^2} u_{\bar{i},j}^k \right) \right)}{I_x^2 + \alpha \sum_{(\bar{i}, \bar{j}) \in \mathcal{H}'(i,j)} \frac{1}{h^2}}$$

**Метод  
Гаусса-Зейделя**

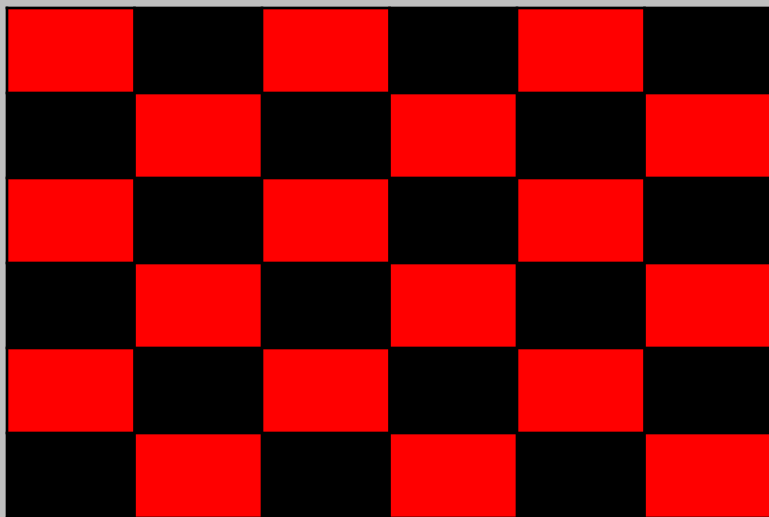
$$v_{i,j}^{k+1} = \frac{\left( -I_y I_t - \left( I_x I_y u_{i,j}^{k+1} - \alpha \sum_{(\bar{i}, \bar{j}) \in \mathcal{H}'_-(i,j)} \frac{1}{h^2} v_{i,\bar{j}}^{k+1} - \alpha \sum_{(\bar{i}, \bar{j}) \in \mathcal{H}'_+(i,j)} \frac{1}{h^2} v_{\bar{i},j}^k \right) \right)}{I_y^2 + \alpha \sum_{(\bar{i}, \bar{j}) \in \mathcal{H}'(i,j)} \frac{1}{h^2}}$$

	i,j+1	
i-1,j	i,j	i+1,j
	i,j-1	

	$\mathcal{H}'_+(i,j)$
	$\mathcal{H}'_-(i,j)$

**Нельзя напрямую использовать для параллельных  
вычислений**

# Красно-черная схема Гаусса-Зейделя



- Новое значение в красном узле зависит только от текущих значений в самом узле и в его «черных соседях»
- Новое значение в черном узле зависит только от текущих значений в самом узле и в его «красных соседях»

**Новые значения в узлах одного цвета можно вычислять параллельно**

## **Схема одной итерации**

- Обновить значения в красных узлах
- Обновить значения в черных узлах

Аналогично можно сделать параллельную версию SOR

# Метод Horn-Schunck

- Ядро выполняет одну итерацию итерационного метода

## Схема вычислений

- Вычислить производные изображения (пространственные и временные)
- Установить начальное приближение - нулевой поток
- Выполнить некоторое количество итераций одного из итерационных методов

**Новые значения сохраняются в массив, отличный от массива со старыми значениями.** В противном случае возникает конфликт чтения-записи.

$$\max_i |x_i^{n+1} - x_i^n| \leq \varepsilon$$

критерий останова

$$\max_i |(Ax^{n+1})_i - b_i| \leq \varepsilon$$

# МЕТОД BROX ET AL

T. Brox, A. Bruhn, N. Papenberg, J. Weickert

**High accuracy optical flow estimation based on a theory for warping,**  
T. Pajdla and J. Matas (Eds.), *European Conference on Computer Vision (ECCV)* Prague, Czech Republic, Springer, LNCS, Vol. 3024, 25-36, May 2004



# Метод Brox et al

**Рассмотренные методы чувствительны к изменению освещения**

# Метод Brox et al

Рассмотренные методы чувствительны к изменению освещения

## **Идея**

- **Рассмотреть другой data term**

## **Предположение**

Сохраняется градиент изображения

$$\nabla I(x + u, y + v, t + 1) - \nabla I(x, y, t) = 0$$

## **Плюс:**

- градиент не чувствителен к аддитивному изменению яркости

## **Минус:**

- чувствительность к шуму

# Метод Brox et al

Рассмотренные методы чувствительны к изменению освещения

## **Идея**

- Рассмотреть другой data term

## **Предположение**

Сохраняется градиент изображения

$$\nabla I(x + u, y + v, t + 1) - \nabla I(x, y, t) = 0$$

**С самого начала ищутся только небольшие векторы смещения**

# Метод Brox et al

Рассмотренные методы чувствительны к изменению освещения

## **Идея**

- Рассмотреть другой data term

## **Предположение**

Сохраняется градиент изображения

$$\nabla I(x + u, y + v, t + 1) - \nabla I(x, y, t) = 0$$

С самого начала ищутся только небольшие векторы смещения

## **Идея**

**Использовать нелинеаризованное уравнение сохранения яркости**

# Метод Brox et al

Тогда штраф за отклонение от предположений о сохранении яркости и градиента яркости примет вид

$$E_{Data}(u, v) = \int_{\Omega} \left( |I(\mathbf{x} + \mathbf{w}) - I(\mathbf{x})|^2 + \gamma |\nabla I(\mathbf{x} + \mathbf{w}) - \nabla I(\mathbf{x})|^2 \right) dx dy$$

# Метод Brox et al

## **Проблема:**

- квадратичный штраф чувствителен к выбросам

# Метод Brox et al

## Проблема:

- квадратичный штраф чувствителен к выбросам

## Идея

Заменить квадратичный штраф выпуклой возрастающей функцией

$$\Psi(s^2) = \sqrt{s^2 + \varepsilon^2}$$

$\varepsilon$  малый положительный параметр

# Метод Brox et al

Получим новый функционал

$$E_{Data}(u, v) = \int_{\Omega} \Psi \left( \left| I(\mathbf{x} + \mathbf{w}) - I(\mathbf{x}) \right|^2 + \gamma \left| \nabla I(\mathbf{x} + \mathbf{w}) - \nabla I(\mathbf{x}) \right|^2 \right) dx dy$$



# Метод Brox et al

## **Предположение**

Поток кусочно-гладкий

Штраф за отклонения от предположения о гладкости потока

$$E_{Smooth}(u, v) = \int_{\Omega} \Psi\left(|\nabla_3 u|^2 + |\nabla_3 v|^2\right) dx dy$$

# Метод Brox et al

## Задача

Найти  $u$  и  $v$ , минимизирующие функционал

$$E(u, v) = E_{Data}(u, v) + \alpha \cdot E_{Smooth}(u, v)$$

$$E_{Data}(u, v) = \int_{\Omega} \Psi \left( |I(\mathbf{x} + \mathbf{w}) - I(\mathbf{x})|^2 + \gamma |\nabla I(\mathbf{x} + \mathbf{w}) - \nabla I(\mathbf{x})|^2 \right) dx dy$$

$$E_{Smooth}(u, v) = \int_{\Omega} \Psi \left( |\nabla_3 u|^2 + |\nabla_3 v|^2 \right) dx dy$$

# Метод Brox et al

## Уравнения Эйлера-Лагранжа

Введем обозначения:

$$I_x := \partial_x I(\mathbf{x} + \mathbf{w})$$

$$I_y := \partial_y I(\mathbf{x} + \mathbf{w})$$

$$I_z := I(\mathbf{x} + \mathbf{w}) - I(\mathbf{x})$$

$$I_{xx} := \partial_{xx} I(\mathbf{x} + \mathbf{w})$$

$$I_{yy} := \partial_{yy} I(\mathbf{x} + \mathbf{w})$$

$$I_{xz} := \partial_x I(\mathbf{x} + \mathbf{w}) - \partial_x I(\mathbf{x})$$

$$I_{yz} := \partial_y I(\mathbf{x} + \mathbf{w}) - \partial_y I(\mathbf{x})$$

Использование  $z$  вместо  $t$  говорит о том, что соответствующее выражение **НЕ** производная, а разность, которую будем минимизировать

# Метод Brox et al

## Уравнения Эйлера-Лагранжа

$$\Psi'(I_z^2 + \gamma(I_{xz}^2 + I_{yz}^2)) \cdot (I_x I_z + \gamma(I_{xx} I_{xz} + I_{xy} I_{yz})) - \\ - \alpha \cdot \operatorname{div}(\Psi'(|\nabla_3 u|^2 + |\nabla_3 v|^2) \nabla_3 u) = 0,$$

$$\Psi'(I_z^2 + \gamma(I_{xz}^2 + I_{yz}^2)) \cdot (I_y I_z + \gamma(I_{yy} I_{yz} + I_{xy} I_{xz})) - \\ - \alpha \cdot \operatorname{div}(\Psi'(|\nabla_3 u|^2 + |\nabla_3 v|^2) \nabla_3 v) = 0$$

## Граничные условия Неймана

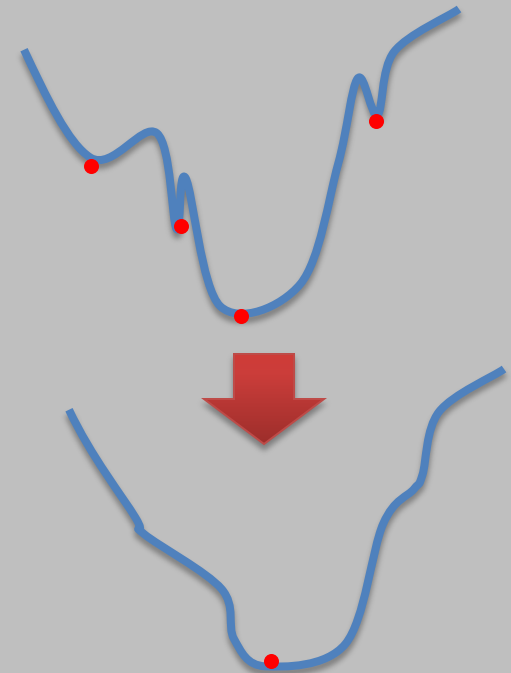
# Метод Brox et al

## Численный метод

- Уравнения Эйлера-Лагранжа нелинейные
- Используем метод неподвижной точки для  $\mathbf{w}$
- Если есть смещения на расстояние, большее размера пикселя, то функционал может иметь множество локальных минимумов

## Идея

- Использовать пирамиду изображений разного разрешения



# Метод неподвижной точки

$$f(x) = x$$

$$\Rightarrow x^{n+1} = f(x^n)$$

$$\Rightarrow \lim_{n \rightarrow \infty} x^{n+1} = x^*$$

$$\Rightarrow f(x^*) = x^*$$

# Метод Brox et al

## Численный метод

- Совместим метод неподвижной точки с масштабированием
- Масштабировать будем с коэффициентом  $\eta \in (0,1)$
- Для более плавного перехода от разрешения к разрешению коэффициент выберем близким к 1
- Используем полную пирамиду изображений, начиная с наименьшего возможного разрешения (например, с 10x10)

# Метод Brox et al

## Численный метод

Итерации по разрешению назовем внешними

Пусть  $k$  – номер изображения в пирамиде (0 – самое низкое разрешение)

$\mathbf{w}^k = (u^k, v^k, 1)^T$  – решение на  $k$ -ой внешней итерации

$$\Psi'((I_z^{k+1})^2 + \gamma((I_{xz}^{k+1})^2 + (I_{yz}^{k+1})^2)) \cdot (I_x^k I_z^{k+1} + \gamma(I_{xx}^k I_{xz}^{k+1} + I_{xy}^k I_{yz}^{k+1})) - \\ - \alpha \cdot \text{div}(\Psi'(|\nabla_3 u^{k+1}|^2 + |\nabla_3 v^{k+1}|^2) \nabla_3 u^{k+1}) = 0$$

Осталась нелинейность в

- $I_*^{k+1}$
- $\Psi'$



# Метод Brox et al

## Численный метод

Устранение нелинейности в производных изображения

$$I_z^{k+1} \approx I_z^k + I_x^k du^k + I_y^k dv^k$$

$$I_{xz}^{k+1} \approx I_{xz}^k + I_{xx}^k du^k + I_{xy}^k dv^k$$

$$I_{yz}^{k+1} \approx I_{yz}^k + I_{xy}^k du^k + I_{yy}^k dv^k$$

$$u^{k+1} = u^k + du^k, \quad v^{k+1} = v^k + dv^k$$

# Метод Brox et al

## Численный метод

Введем обозначения

$$(\Psi')_{Data}^k := \Psi'((I_z^k + I_x^k du^k + I_y^k dv^k)^2 + \\ + \gamma((I_{xz}^k + I_{xx}^k du^k + I_{xy}^k dv^k)^2 + (I_{yz}^k + I_{xy}^k du^k + I_{yy}^k dv^k)^2))$$

$$(\Psi')_{Smooth}^k := \Psi'(|\nabla_3(u^k + du^k)|^2 + |\nabla_3(v^k + dv^k)|^2)$$

# Метод Brox et al

## Численный метод

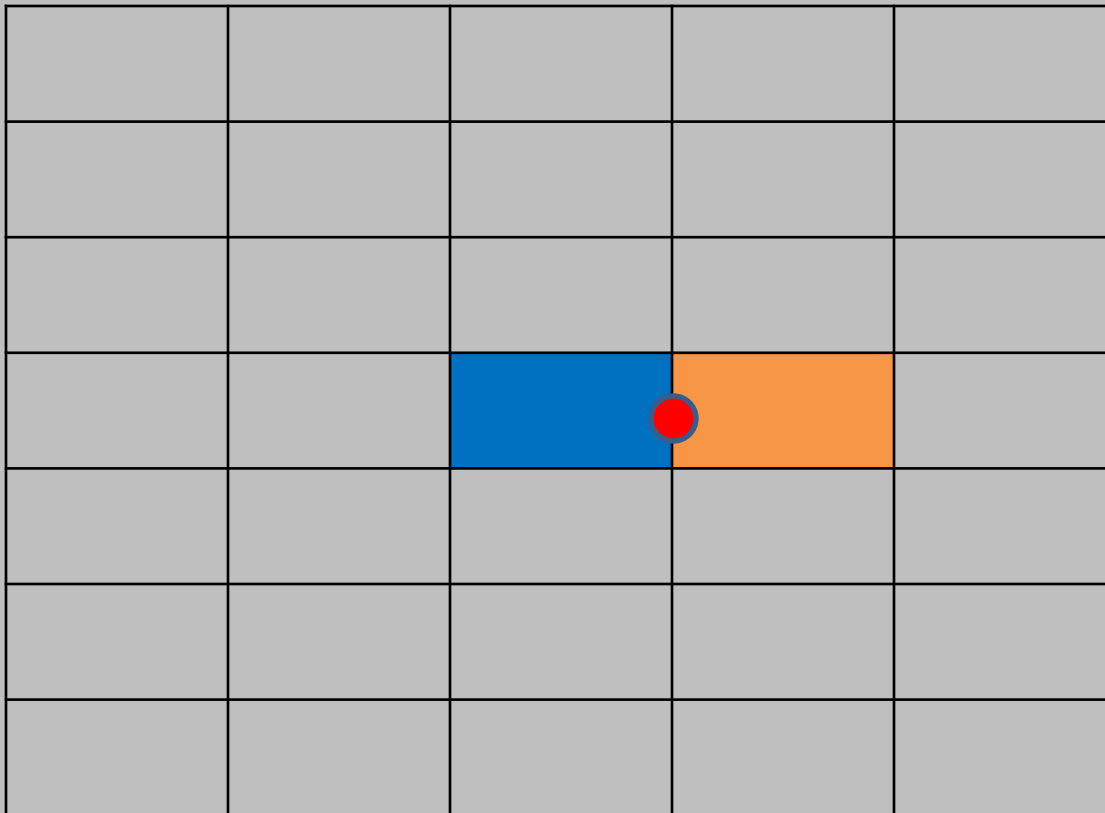
Аппроксимация слагаемого с дивергенцией

$$\begin{aligned}\operatorname{div}(k \cdot \nabla u)_{i,j} &= \\ &= \frac{1}{h} \left( k_{i+\frac{1}{2},j} \frac{u_{i+1,j} - u_{i,j}}{h} - k_{i-\frac{1}{2},j} \frac{u_{i,j} - u_{i-1,j}}{h} \right) + \\ &+ \frac{1}{h} \left( k_{i,j+\frac{1}{2}} \frac{u_{i,j+1} - u_{i,j}}{h} - k_{i,j-\frac{1}{2}} \frac{u_{i,j} - u_{i,j-1}}{h} \right)\end{aligned}$$

# Метод Brox et al

## Численный метод

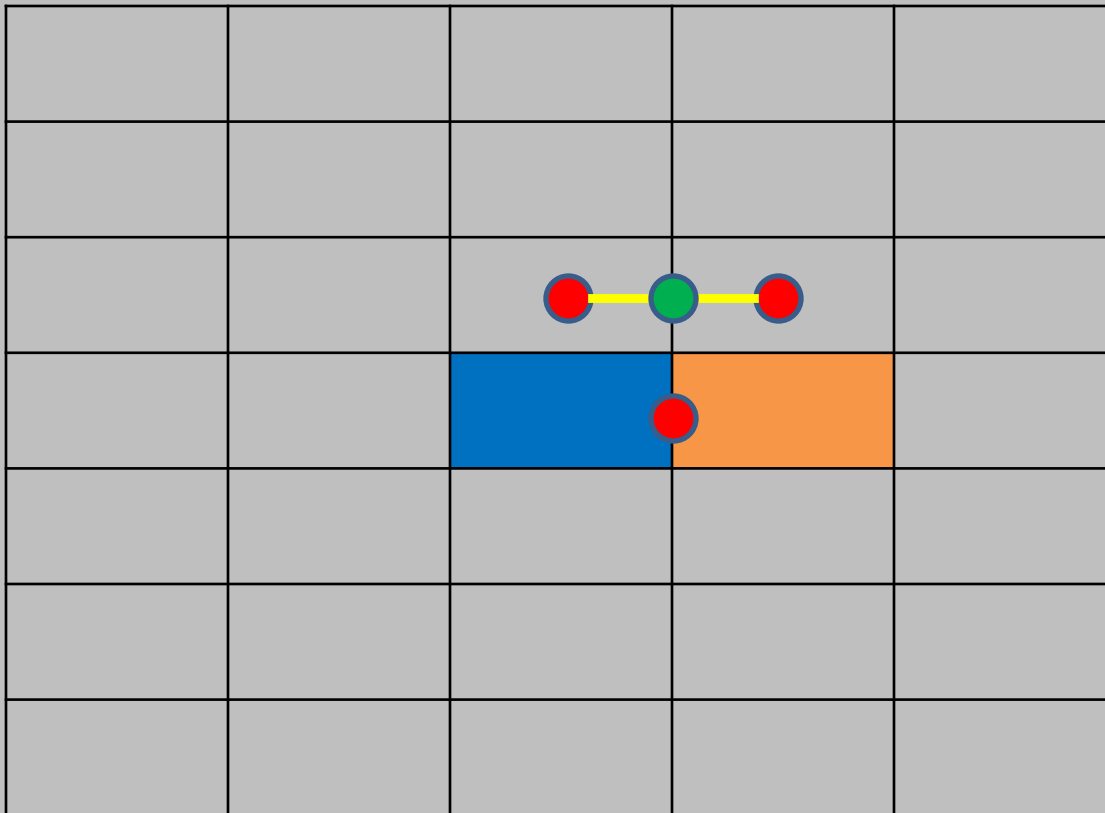
Аппроксимация smooth term



# Метод Brox et al

## Численный метод

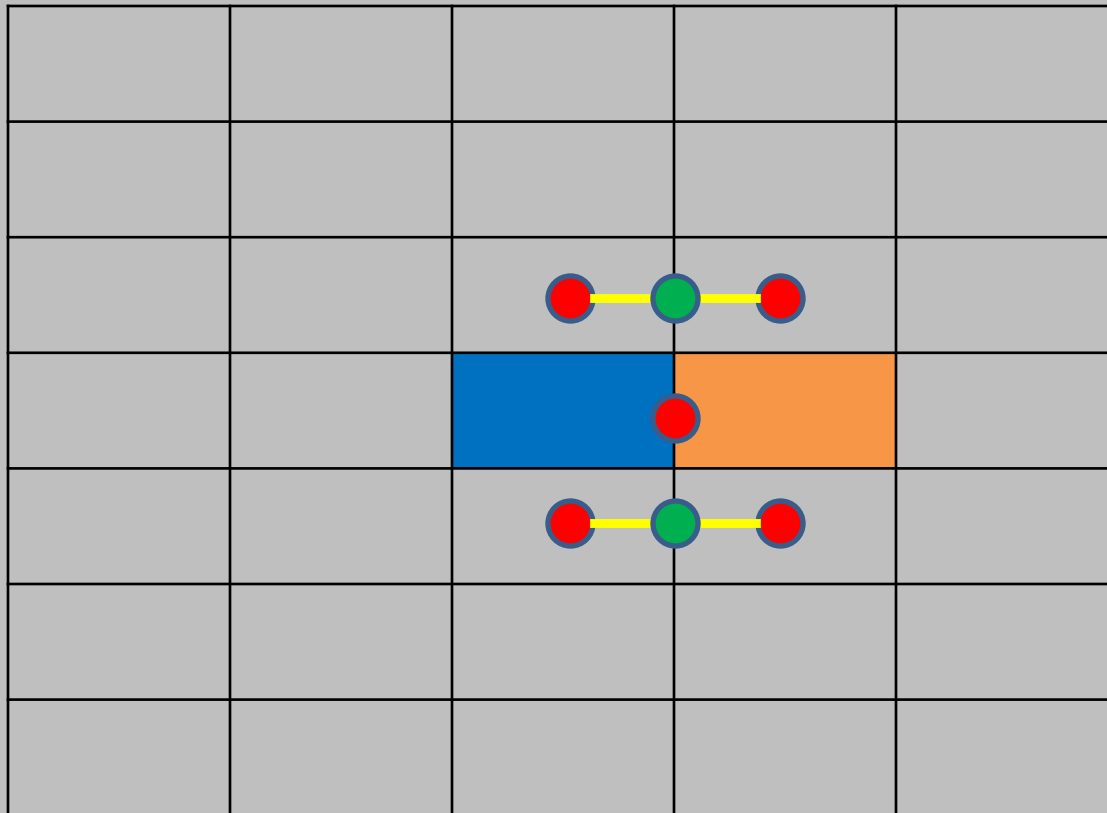
Аппроксимация smooth term



# Метод Brox et al

## Численный метод

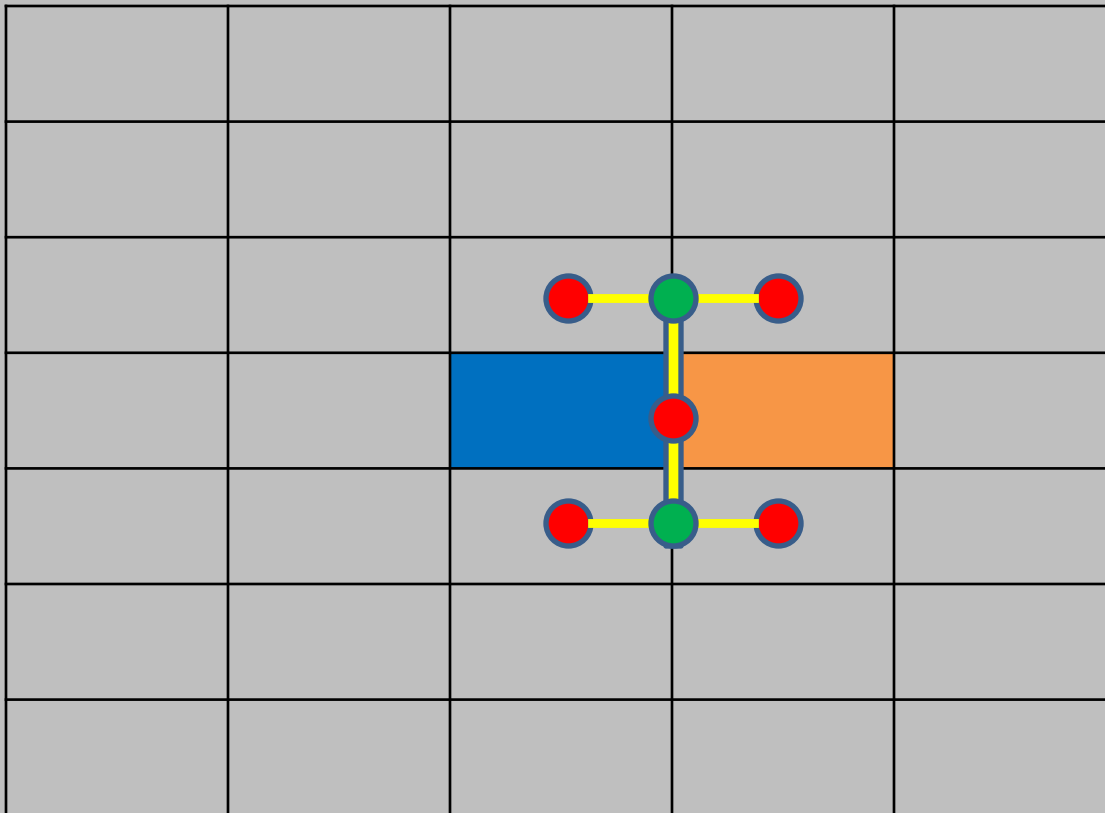
Аппроксимация smooth term



# Метод Brox et al

## Численный метод

Аппроксимация smooth term



# Метод Brox et al

## Численный метод

Аппроксимация smooth term

$$|\nabla u|_{i+\frac{1}{2},j}^2 = (u_{i+1,j} - u_{i,j})^2 + \left( \left( \frac{u_{i+1,j+1} + u_{i,j+1}}{2} \right) - \left( \frac{u_{i+1,j-1} + u_{i,j-1}}{2} \right) \right)^2$$

$$|\nabla u|_{i,j+\frac{1}{2}}^2 = (u_{i,j+1} - u_{i,j})^2 + \left( \left( \frac{u_{i+1,j+1} + u_{i+1,j}}{2} \right) - \left( \frac{u_{i-1,j+1} + u_{i-1,j}}{2} \right) \right)^2$$



# Метод Brox et al

## Численный метод

Оставшаяся нелинейность в  $\Psi$  устраняется повторным применением метода неподвижной точки

Начальные значения  $\mathbf{w}^0 = (0,0,1)^T$ ,  $du^{k,0} = 0$ ,  $dv^{k,0} = 0$

$$\begin{aligned} 0 = & (\Psi')_{Data}^{k,l} \cdot (I_x^k (I_z^k + I_x^k du^{k,l+1} + I_y^k dv^{k,l+1}) + \\ & + \gamma \cdot I_{xx}^k (I_{xz}^k + I_{xx}^k du^{k,l+1} + I_{xy}^k dv^{k,l+1}) + \gamma \cdot I_{xy}^k (I_{yz}^k + I_{xy}^k du^{k,l+1} + I_{yy}^k dv^{k,l+1})) - \\ & - \alpha \cdot \text{div}((\Psi')_{Smooth}^{k,l} \nabla_3 (u^k + du^{k,l+1})) \end{aligned}$$

Полученная **система уравнений**

- **линейная**

- может быть решена одним из рассмотренных методов

# Метод Brox et al

## Решение линейной системы

Используем красно-черный метод релаксации (**Red-Black SOR**)

$$\begin{aligned} du_i^{k,l,m+1} = & (1-\omega) du_i^{k,l,m} + \\ & + \omega \frac{\sum_{j \in \mathcal{N}'(i)} (\Psi'_S)^{k,l}_{i \leftrightarrow j} (u_j^k + du_j^{k,l,m}) - \sum_{j \in \mathcal{N}'(i)} (\Psi'_S)^{k,l}_{i \leftrightarrow j} u_i^k}{\sum_{j \in \mathcal{N}'(i)} (\Psi'_S)^{k,l}_{i \leftrightarrow j} + \frac{(\Psi'_D)_i^{k,l}}{\alpha} ((I_{x,i}^k)^2 + \gamma \cdot ((I_{xy,i}^k)^2 + (I_{xx,i}^k)^2))} - \\ & - \omega \frac{\frac{(\Psi'_D)_i^{k,l}}{\alpha} ((I_{x,i}^k I_{y,i}^k + \gamma \cdot (I_{xx,i}^k I_{xy,i}^k + I_{xy,i}^k I_{yy,i}^k)) dv_i^{k,l,m} + I_{x,i}^k I_{z,i}^k + \gamma \cdot (I_{xx,i}^k I_{xz,i}^k + I_{xy,i}^k I_{yz,i}^k))}{\sum_{j \in \mathcal{N}'(i)} (\Psi'_S)^{k,l}_{i \leftrightarrow j} + \frac{(\Psi'_D)_i^{k,l}}{\alpha} ((I_{x,i}^k)^2 + \gamma \cdot ((I_{xy,i}^k)^2 + (I_{xx,i}^k)^2))} \end{aligned}$$

## Граничные условия

$$du^{k,l,m} \Big|_{\partial\Omega} = 0, \quad dv^{k,l,m} \Big|_{\partial\Omega} = 0$$

# Метод Brox et al

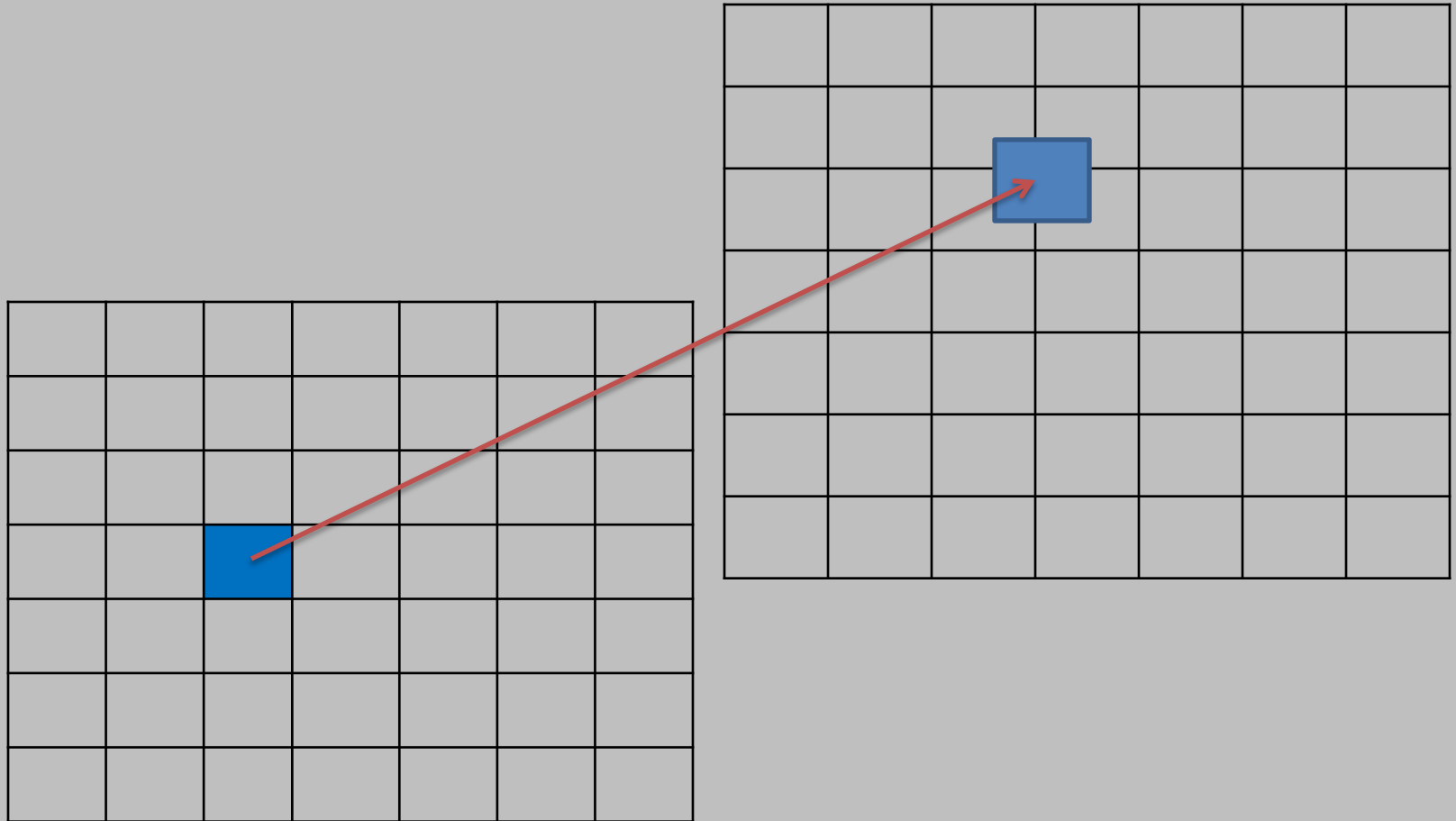
## Решение линейной системы

Используем красно-черный метод релаксации (**Red-Black SOR**)

$$\begin{aligned} du_i^{k,l,m+1} = & (1-\omega)du_i^{k,l,m} + \\ & + \omega \frac{\sum_{j \in \mathcal{H}'(i)} (\Psi'_S)^{k,l}_{i \leftrightarrow j} (u_j^k + du_j^{k,l,m}) - \sum_{j \in \mathcal{H}'(i)} (\Psi'_S)^{k,l}_{i \leftrightarrow j} u_i^k}{\sum_{j \in \mathcal{H}'(i)} (\Psi'_S)^{k,l}_{i \leftrightarrow j} + \frac{(\Psi'_D)^{k,l}_i}{\alpha} ((I_{x,i}^k)^2 + \gamma \cdot ((I_{xy,i}^k)^2 + (I_{xx,i}^k)^2))} - \\ & - \omega \frac{\frac{(\Psi'_D)^{k,l}_i}{\alpha} ((I_{x,i}^k I_{y,i}^k + \gamma \cdot (I_{xx,i}^k I_{xy,i}^k + I_{xy,i}^k I_{yy,i}^k)) dv_i^{k,l,m} + (I_{x,i}^k I_{z,i}^k + \gamma \cdot (I_{xx,i}^k I_{xz,i}^k + I_{xy,i}^k I_{yz,i}^k))}{\sum_{j \in \mathcal{H}'(i)} (\Psi'_S)^{k,l}_{i \leftrightarrow j} + \frac{(\Psi'_D)^{k,l}_i}{\alpha} ((I_{x,i}^k)^2 + \gamma \cdot ((I_{xy,i}^k)^2 + (I_{xx,i}^k)^2))} \end{aligned}$$

# Метод Brox et al

Билинейная интерполяция для  $\mathbf{I}(\mathbf{x}+\mathbf{w})$



# Метод Brox et al

## Реализация

- Кадры храним в виде текстур
- Для продолжения решения с разрешения  $k$  на разрешение  $k+1$  используем текстуры

## Общая схема метода

Подготовить текстуры с изображениями

Задать начальные значения для  $u$  и  $v$

- Для каждого разрешения, начиная с наименьшего
  - Установить начальное значение  $du, dv$ 
    - Подготовить данные для итераций SOR
    - Выполнить некоторое число итераций SOR
    - Обновить  $u, v$
  - Продолжить решение на большее разрешение
- Сохранить результат

# Метод Brox et al

## Реализация

- Кадры храним в виде текстур
- Для продолжения решения с разрешения  $k$  на разрешение  $k+1$  используем текстуры

## Общая схема метода

Подготовить текстуры с изображениями

Задать начальные значения для  $u$  и  $v$

- Для каждого разрешения, начиная с наименьшего
  - Установить начальное значение  $du, dv$ 
    - Подготовить данные для итераций SOR
    - Выполнить некоторое число итераций SOR
    - Обновить  $u, v$
  - Продолжить решение на большее разрешение
- Сохранить результат

warping FP iteration

lagged nonlinearity FP iteration

solver FP iteration

# Метод Brox et al

- Сложные шаблоны доступа к памяти
- Большая часть данных не меняется во время итераций



**Используем текстуры**

*Текстуры + shared memory работает медленнее чем просто текстуры*

Для объединения запросов при записи индексы начала строк округляем до значений, кратных 16





Дополнительные материалы:

- <http://www.google.com>
- <http://www.mia.uni-saarland.de>
- <http://vision.middlebury.edu/flow/>